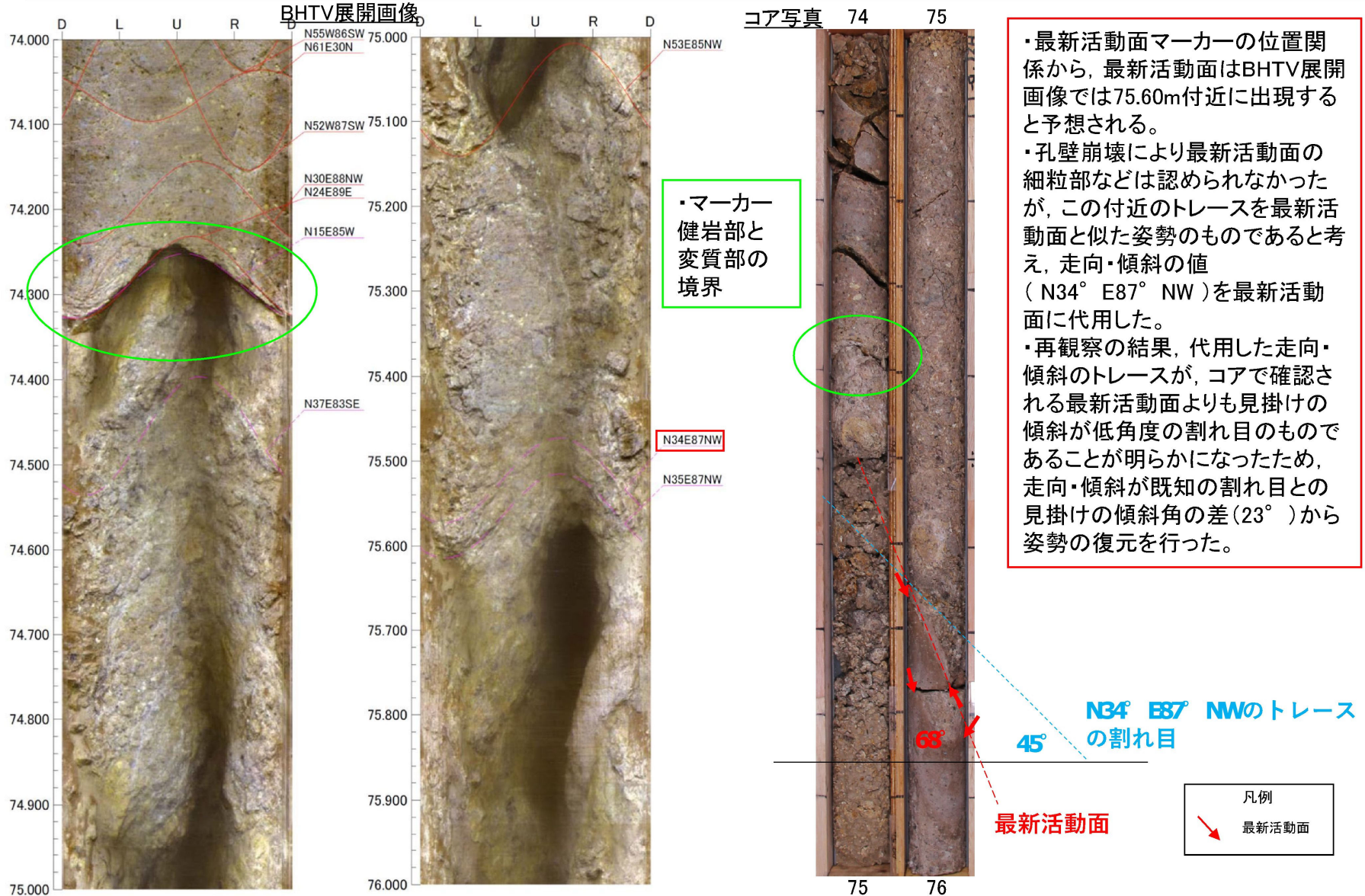


ボアホールカメラ展開画像との対比結果(H27-B-1 深度75.57~76.00m)

48のエビデンス
(走向・傾斜) (1/3)

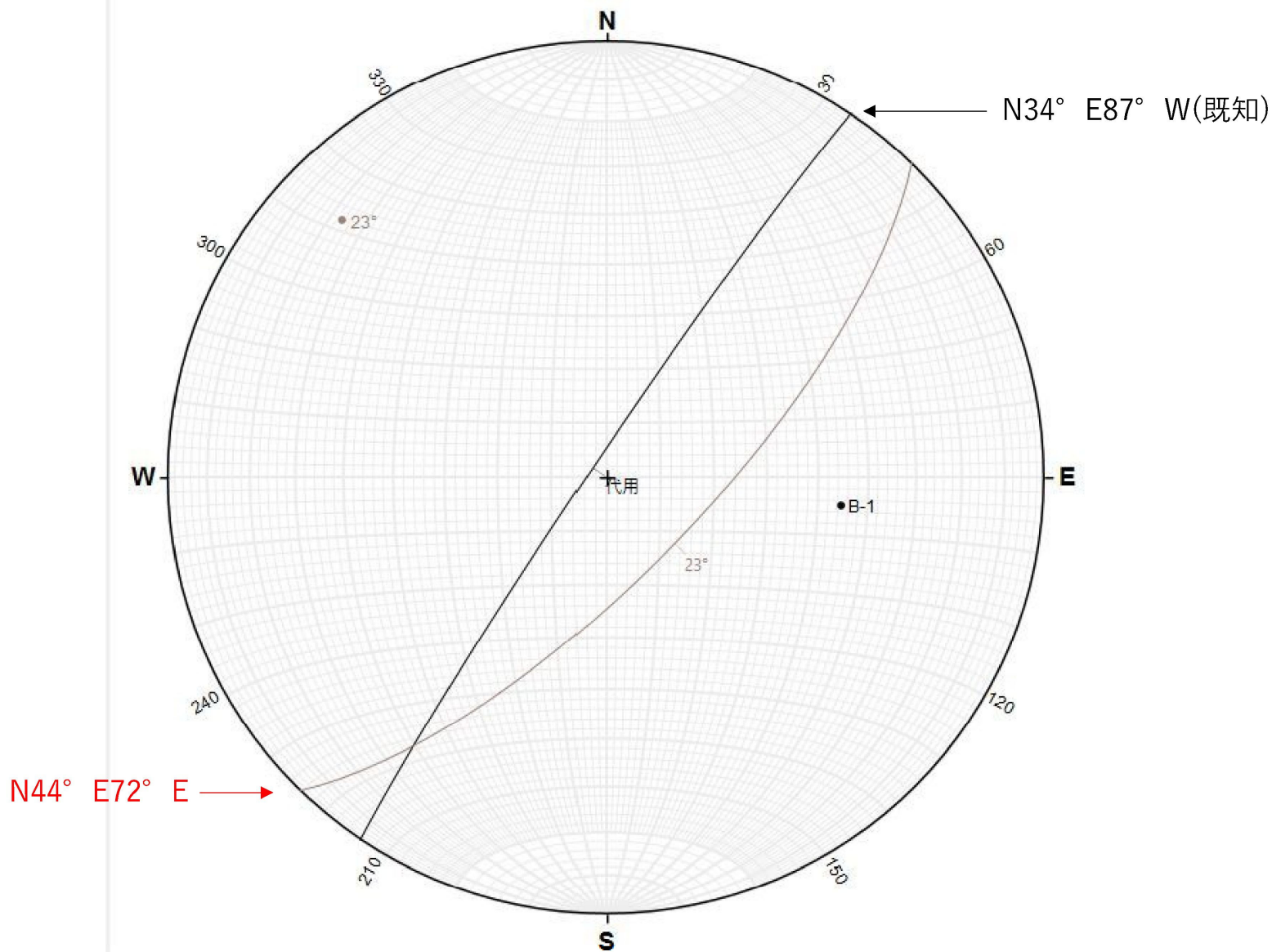
・H27-B-1孔 深度75.57~76.00mの破碎部の最新活動面の走向・傾斜をN34° E87° NWで代用したが、これはコアで確認される最新活動面よりも見掛けの傾斜が低角度の割れ目のものであることが明らかになったため、走向・傾斜が既知の割れ目との見掛けの傾斜角の差(23°)から姿勢の復元を行った。



H27-B-1孔 深度75.73m の最新活動面の走向・傾斜

48のエビデンス (走向・傾斜) (2/3)

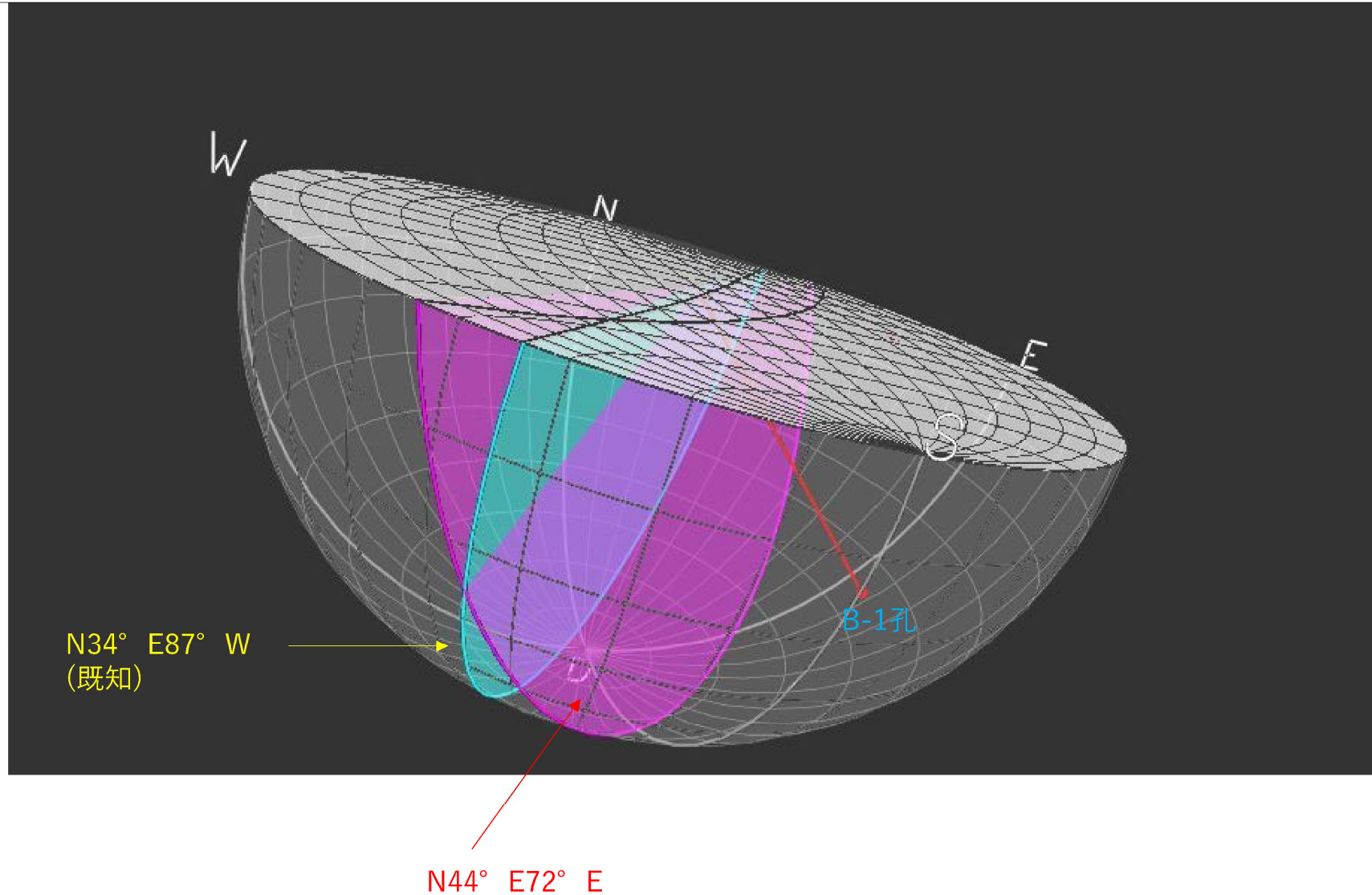
・ H27-B-1孔 深度75.57~76.00mの破碎部の最新活動面の走向・傾斜を、走向・傾斜が既知の割れ目との見掛けの傾斜角の差(23°)から姿勢の復元を行い、最新活動面の走向・傾斜N44° E72° Eを推定した。



H27-B-1孔 深度75.73m の最新活動面の走向・傾斜

48のエビデンス (走向・傾斜) (3/3)

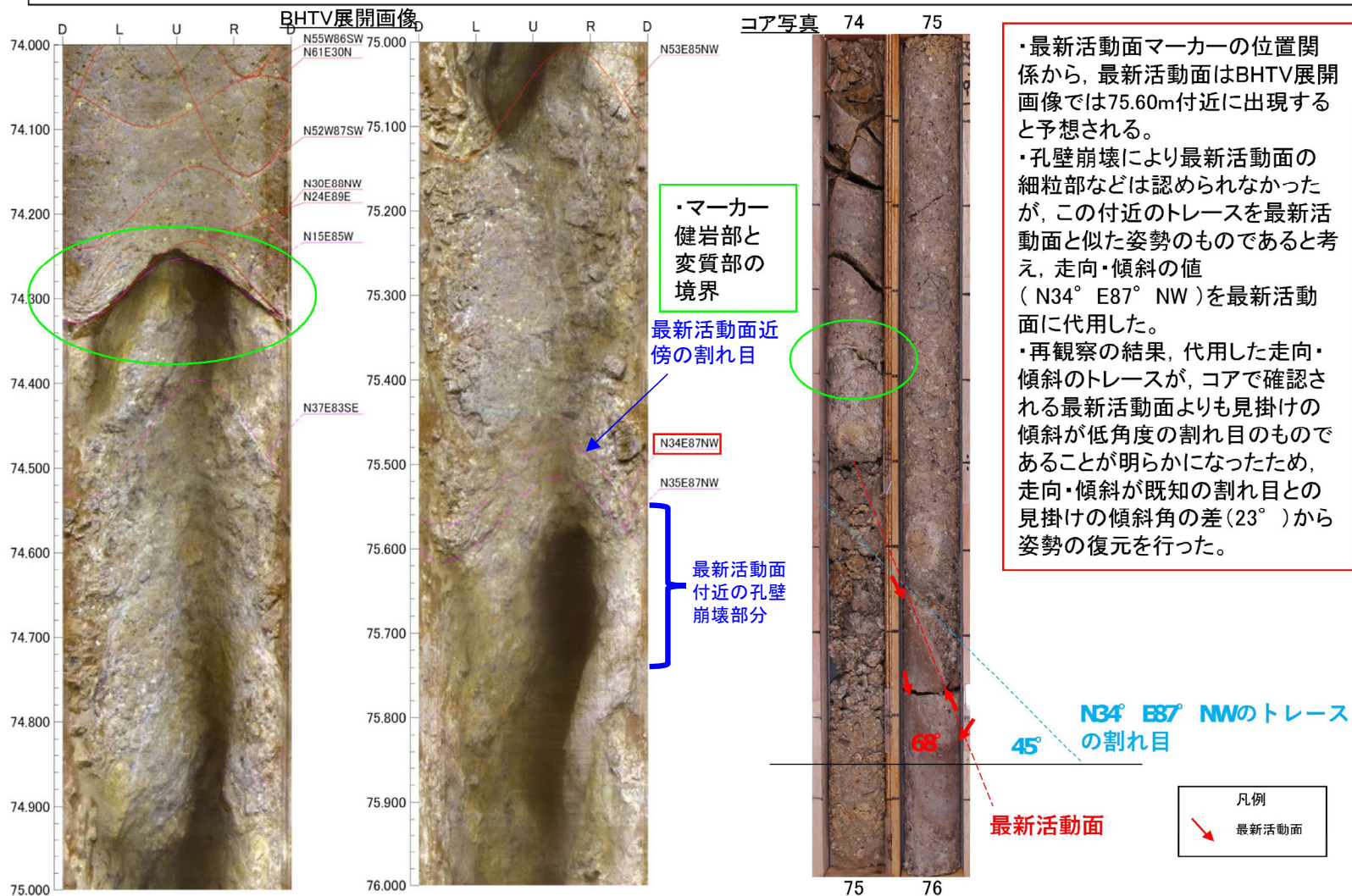
・ H27-B-1孔 深度75.57~76.00mの破碎部の最新活動面の走向・傾斜を, 走向・傾斜が既知の割れ目との見掛けの傾斜角の差(23°) から姿勢の復元を行い, 最新活動面の走向・傾斜N44° E72° Eを推定した。



- N34E87NWの割れ目は最新活動面よりも見かけの傾斜が低角度の割れ目であることから、以下のとおり、走向・傾斜をN34E87NW からN44E72Eに変更した。
- BHTV画像を確認したところ、孔壁崩壊により最新活動面(深度75.73m)の走向・傾斜が取得できていなかったため、最新活動面近傍の割れ目の走向・傾斜(N34E87NW, BHTV展開画像の青色矢印で示した割れ目)を用いて、その割れ目と最新活動面のコアにおける姿勢から最新活動面の走向・傾斜をN44E72Eと推定した。
- 従前提示していたデータは、最新活動面近傍の割れ目の走向・傾斜(N34E87NW)を最新活動面の走向・傾斜として代用していた。

ボアホールカメラ展開画像との対比結果(H27-B-1 深度75.57~76.00m)

- H27-B-1孔 深度75.57~76.00mの破碎部の最新活動面の走向・傾斜をN34° E87° NWで代用したが、これはコアで確認される最新活動面よりも見掛けの傾斜が低角度の割れ目のものであることが明らかになったため、走向・傾斜が既知の割れ目との見掛けの傾斜角の差(23°)から姿勢の復元を行った。



余白

・ 条線方向は性状一覧表に「90」と記載していた。

15.非モデル化破碎帯
性状一覧表(17/19)

第833回審査会合資料 机上配布資料2に追記(赤太枠)

| 断面図上の番号 | 確認箇所 | 破碎帯範囲 | | 走向 | 傾斜 | 破碎幅 (cm) | 断層ガウジ断層角の幅 (cm) | 最新活動面 | | 条線方向 | 変位センス | | 写真 | |
|---------|-----------------|----------|----------|------|------|----------|-----------------|--------------|-----|------|-------|----|-----|-----|
| | | 上端深度 (m) | 下端深度 (m) | | | | | 明瞭なせん断構造変形構造 | 平滑さ | | 鉛直 | 水平 | | |
| ⑧ | H27-B-1 (傾斜45°) | 49.17 | 49.22 | N47E | 45W | 3.0 | 1.5 | 無 | - | 30L | 正 | 右 | 49 | 50 |
| ⑨ | H27-B-1 (傾斜45°) | 52.72 | 52.81 | N15E | 82E | 7.2 | - | - | - | 10R | - | 左 | 52 | 53 |
| ⑩ | H27-B-1 (傾斜45°) | 53.17 | 53.22 | N27E | 64W | 4.8 | 0.2 | 無 | - | 90 | 正 | - | 53 | 54 |
| ⑪ | H27-B-1 (傾斜45°) | 69.70 | 69.73 | N25E | 82E | 2.4 | 0.1 | 無 | - | 20L | - | 右 | 69 | 70 |
| ⑫ | H27-B-1 (傾斜45°) | 74.36 | 74.50 | N15E | 85W | 10.7 | 0.7 | 無 | - | 70L | 正 | - | 74 | 75 |
| ⑬ | H27-B-1 (傾斜45°) | 75.57 | 76.00 | N34E | 87NW | 18.2 | - | - | - | 90 | 逆 | - | 75 | 76 |
| ⑭ | H27-B-1 (傾斜45°) | 78.72 | 78.87 | N17E | 71E | 13.1 | 0.2 | 無 | - | 30L | 正 | 右 | 78 | 79 |
| ⑰ | H27-B-1 (傾斜45°) | 113.51 | 113.60 | N21E | 69E | 8.3 | 0.2 | 無 | - | 30L | 正 | 右 | 113 | 114 |

凡 例

:最新活動面
 :破碎幅
 :断層ガウジ
 :粘土の狭在物が認められる箇所
 *1:露頭
 *2:試掘坑

【破碎幅】
粘土状破碎部、砂状破碎部、角礫状破碎部、固結した粘土状破碎部、固結した砂状破碎部、固結した角礫状破碎部の合計の幅とし、破碎部の走向傾斜から真の幅に換算した。

【平滑さ】
平滑：最新活動面が直線的なもの
非平滑：最新活動面が湾曲するもの

参考2-189

条線観察結果(H27-B-1孔 深度75.73m)

49のエビデンス (条線)

H27-B-1孔 深度75.73mの断層面の走向・傾斜はN44° E72° E※であり、88° Rの条線が認められる。(※破碎部の走向・傾斜をBHTV画像から取得できなかったことから、同一ボーリングコアの他の不連続面と本破碎部の位置関係から推定した走向・傾斜データを使用)

コア写真

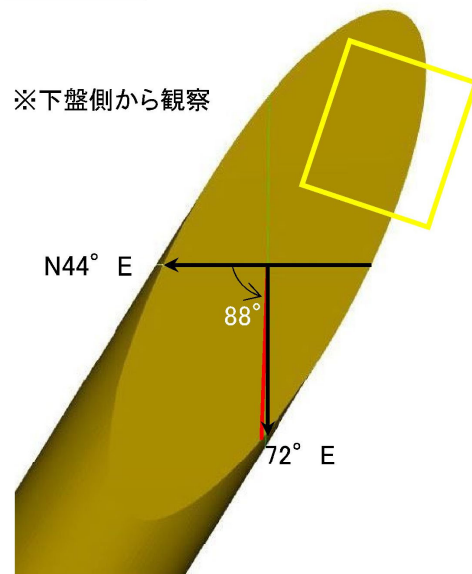


凡例

- 条線観察位置
- 断層ガウジ
- 破碎部範囲※
- 最新活動面

※:写真上は白色で記載

観察模式図



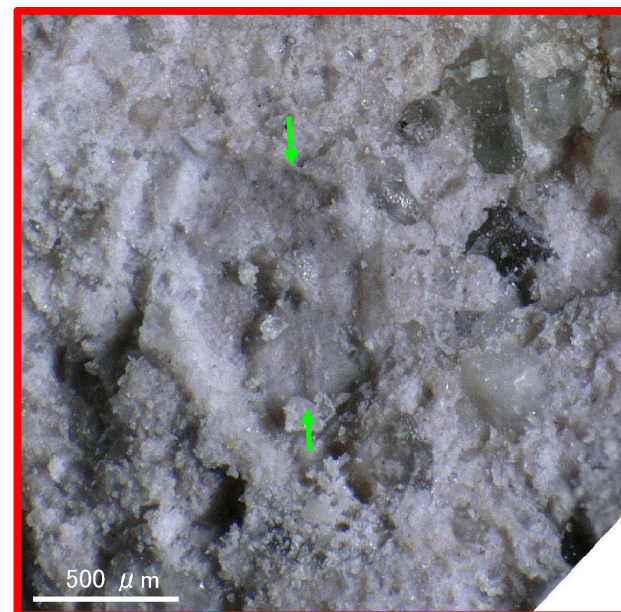
凡例

- 最新活動面
- レイク

条線観察位置拡大



赤枠内拡大



凡例

- 条線方向

- 条線方向は観察面の走向・傾斜を用いて観察された条線を補正して導出している。条線の観察は適切に行われていた※が、走向・傾斜がN44° E72° Eに変更になることにより、条線方向は88Rに変更となる(副次的変更)。
 ※最新活動面である条線観察位置(深度75.73m)において採取した試料を用いて、今回設定したプロセスによって観察した条線方向(赤枠写真)により、当時の観察は正しいことを確認した。

条線観察結果(H27-B-1孔 深度75.73m)

H27-B-1孔 深度75.73mの断層面の走向・傾斜はN44° E72° E※であり、88° Rの条線が認められる。(※破碎部の走向・傾斜をBHTV画像から取得できなかったことから、同一ボーリングコアの他の不連続面と本破碎部の位置関係から推定した走向・傾斜データを使用)

コア写真

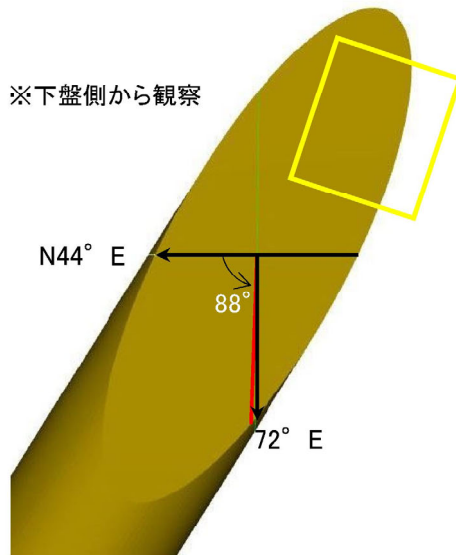


凡例

- 条線観察位置 (Blue arrow)
- 断層ガウジ (Yellow arrow)
- 破碎部範囲※ (White arrows)
- 最新活動面 (Red arrow)

※:写真上は白色で記載

観察模式図



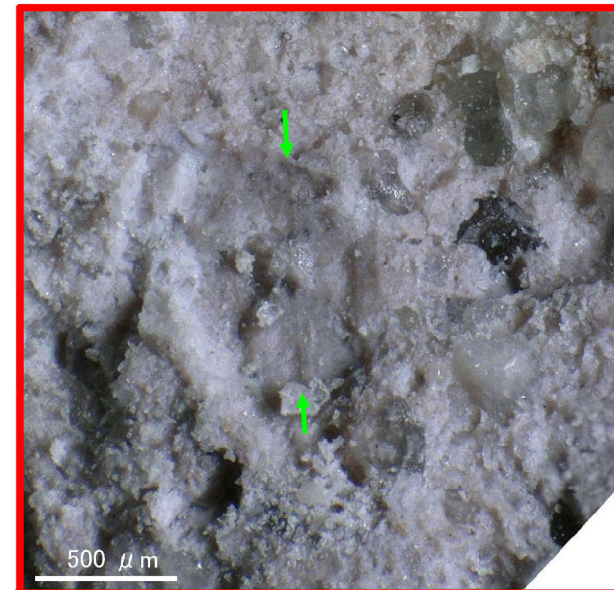
凡例

- 最新活動面 (Yellow oval)
- レイク (Red arrow)

条線観察位置拡大



赤枠内拡大



凡例

- 条線方向 (Green arrows)

- 条線観察位置を残試料より復元し、最新活動面位置(深度75.73m)で計測していることを確認した。

コア写真



研磨片作製位置



青枠部拡大



凡例
 最新活動面

研磨片写真(斜めから)



凡例
 試料切断方向

条線計測のため、研磨面と平行方向に切断

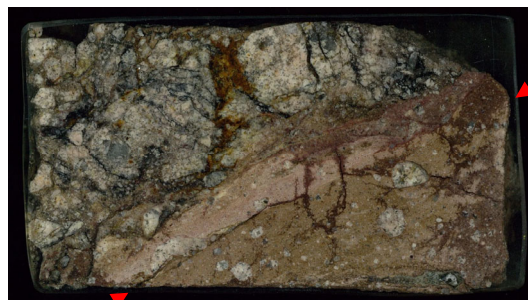
凡例
 ← → 破碎部範囲*
 ※:写真上は白色で記載

条線観察位置



凡例
 条線観察位置

研磨片写真



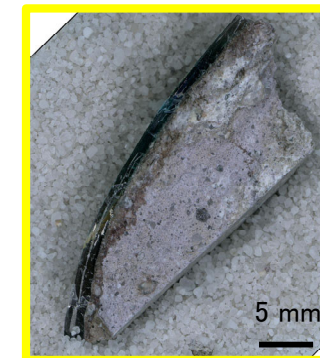
凡例
 最新活動面

試料切断面



凡例
 最新活動面

条線観察位置拡大



黄枠部拡大

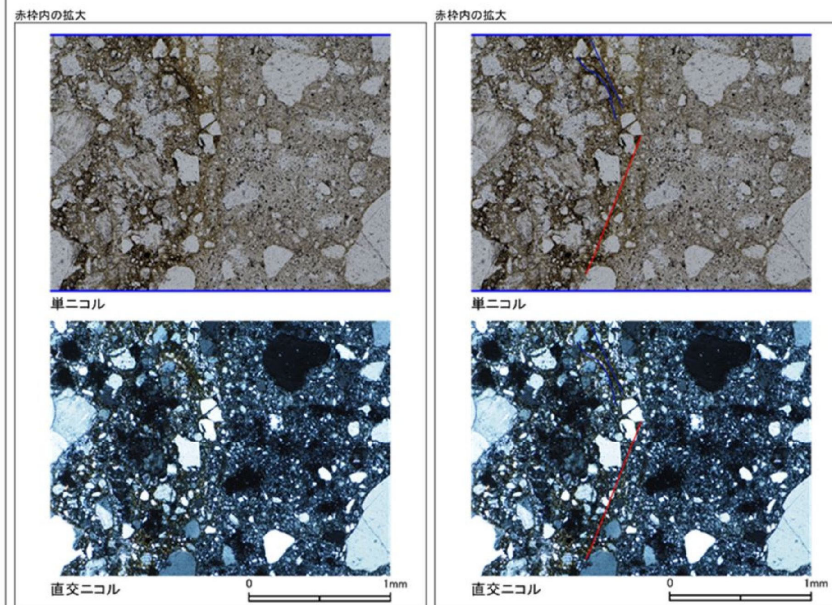
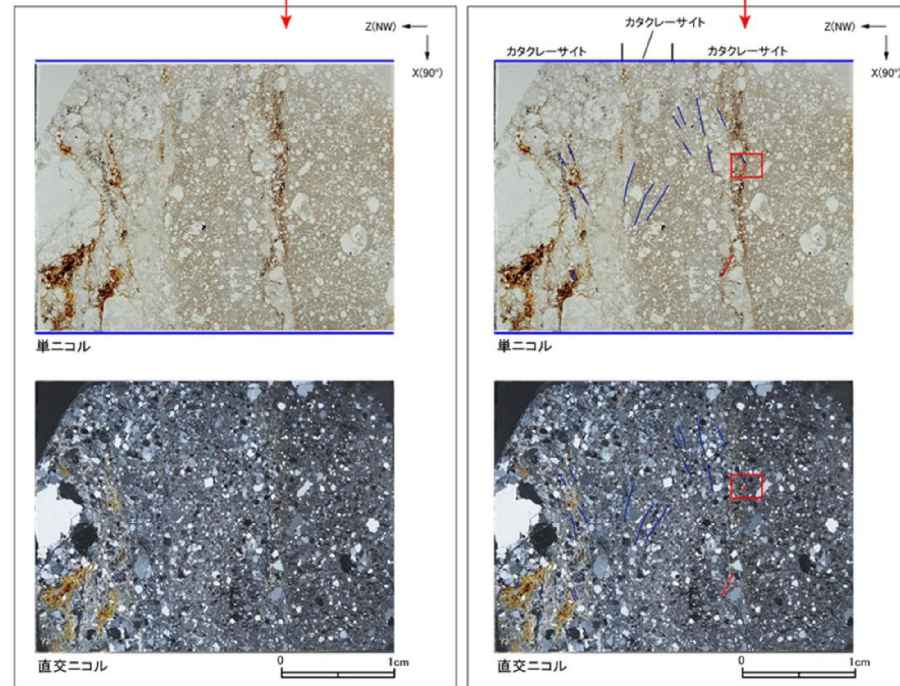
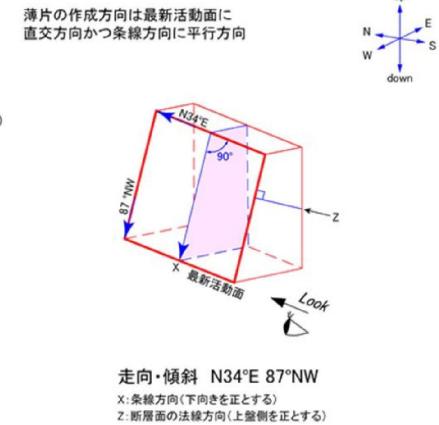
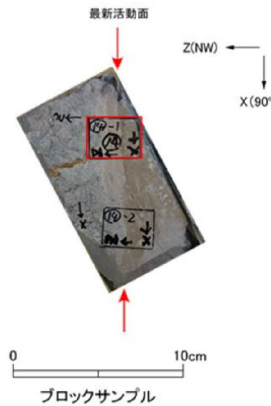
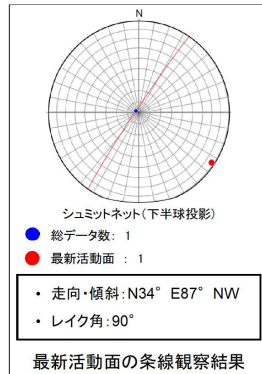
注)条線方向は上盤から見た方向で表記するため、前頁の写真は反転している。

変位センスは「逆断層成分が卓越する。」と薄片観察結果へ記載し、同じ情報を性状一覧表にも記載していた。

非モデル化破碎部 薄片試料観察(H27-B-1 深度75.73m)

第833回審査会合 机上配布資料1に追記(赤太枠)

H27-B-1のボーリングコア(深度75.73m)から採取した薄片試料の観察結果によれば最新活動面の変位センスは **逆断層成分が卓越する。**



- 凡例
- 断層ガウジ
 - カタクレーサイト
 - R1面
 - P面

H27-B-1 深度75.57~76.00m (1/3)

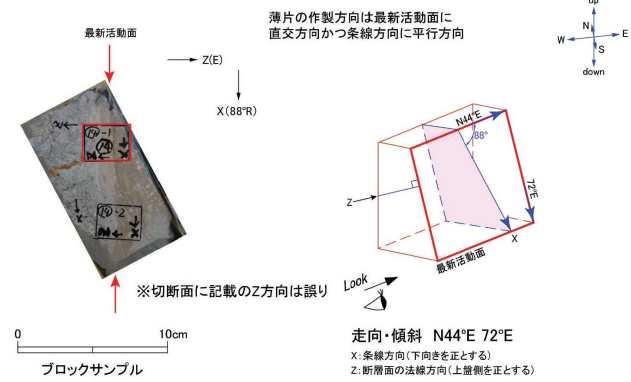
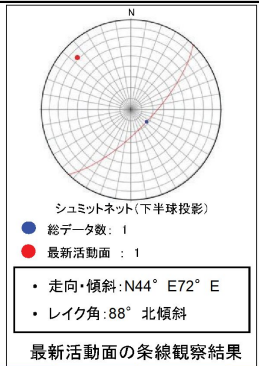
青枠：変位センスに関する部分

50のエビデンス (変位センス) (1/3)

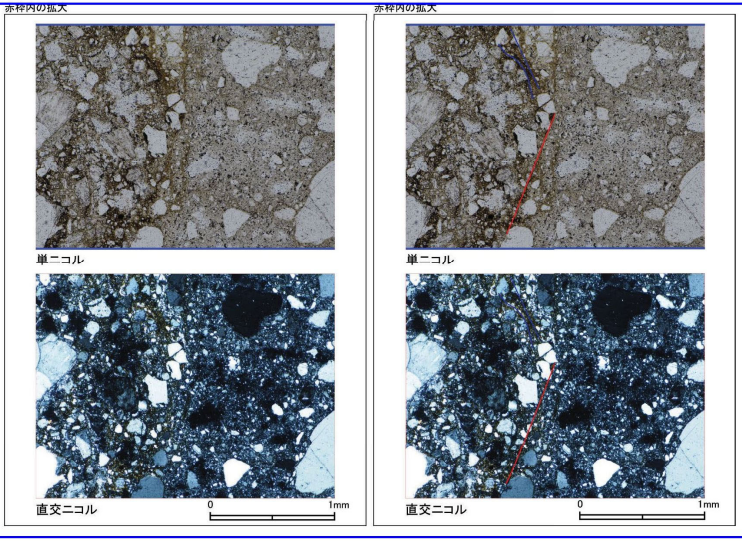
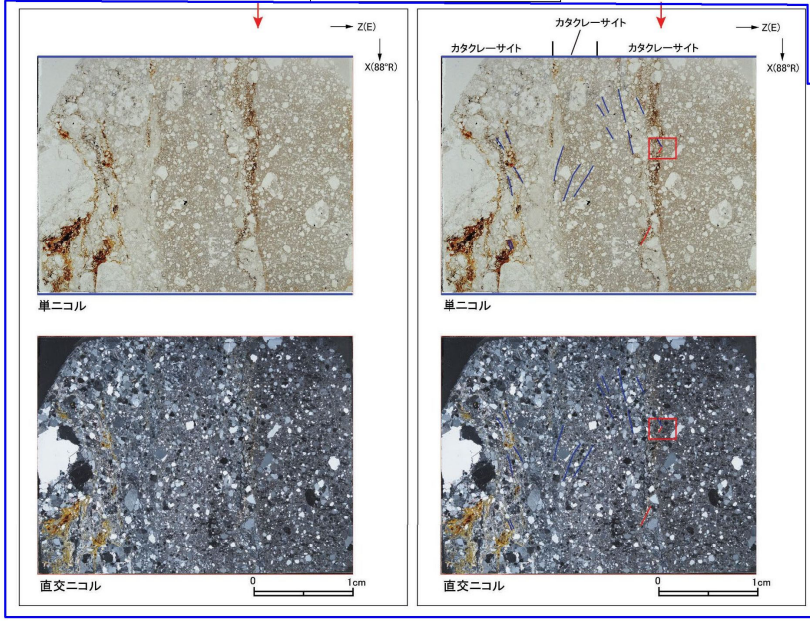
・H27-B-1のボーリングコアから採取した薄片試料の観察結果によれば最新活動面(深度75.73m)の変位センスは、正断層成分が卓越する。

・最新活動ゾーンに以下の特徴が認められることから、カタクレーサイトのみからなる破砕部であると判断した。

- (カタクレーサイト) 基質を構成する粘土鉱物は少ない。
- (カタクレーサイト) 組織は漸移的に変化する。
- (カタクレーサイト) 多様な粒径の岩片が多く認められる。
- (カタクレーサイト) 角ばった岩片が多い。
- (カタクレーサイト) 岩片の粒界を横断する破断面が認められる。
- (カタクレーサイト) ジグソー状の角礫群が認められる。
- (カタクレーサイト) 塑性変形した雲母粘土鉱物が認められる。



※破砕部の走向・傾斜をBHTV画像から取得できなかったことから、同一ボーリングコアの他の不連続面と本破砕部の位置関係から推定した走向・傾斜データを使用している。



- 凡例
- 断層ガウジ
 - カタクレーサイト
 - R1面
 - P面

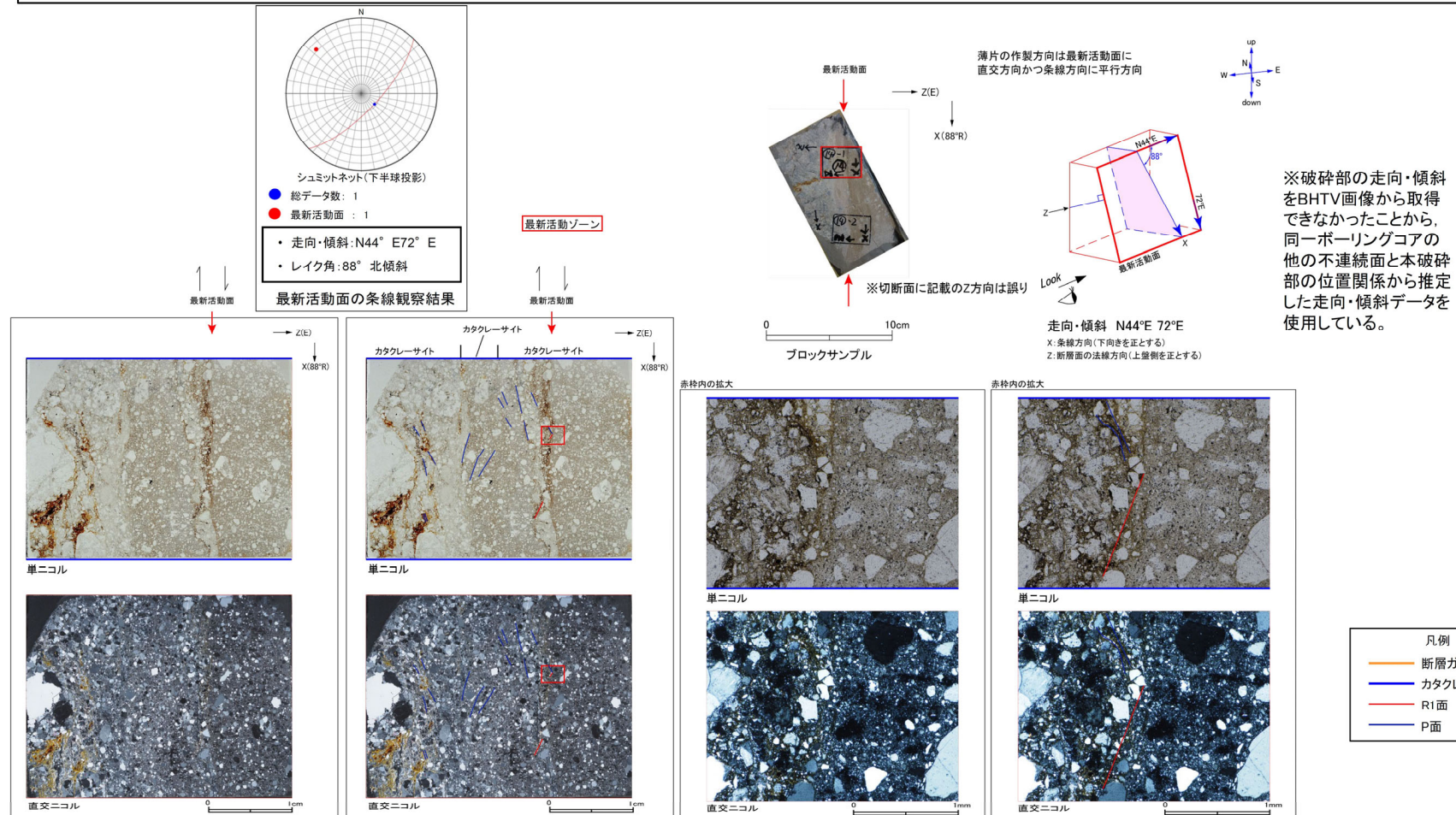
・薄片試料の観察自体は適切に実施されていたが、走向・傾斜(N34° E87° NW →N44° E72° E), 条線方向(90° →88° R)が変更になることにより、傾斜方向が西傾斜から東傾斜に変更となるため、変位センスは「正断層成分が卓越する。」に変更となる(副次的変更)。

H27-B-1 深度75.57~76.00m (1/3)

・H27-B-1のボーリングコアから採取した薄片試料の観察結果によれば最新活動面(深度75.73m)の変位センスは、正断層成分が卓越する。

・最新活動ゾーンに以下の特徴が認められることから、カタクレサイトのみからなる破碎部であると判断した。

- (カタクレサイト)基質を構成する粘土鉱物は少ない。
- (カタクレサイト)組織は漸移的に変化する。
- (カタクレサイト)多様な粒径の岩片が多く認められる。
- (カタクレサイト)角ばった岩片が多い。
- (カタクレサイト)岩片の粒界を横断する破断面が認められる。
- (カタクレサイト)ジグソー状の角礫群が認められる。
- (カタクレサイト)塑性変形した雲母粘土鉱物が認められる。



余白

・ 当該破碎部(H27-B-1孔 75.57~76.00m)は性状一覧表に「非モデル化破碎帯」として記載していた。

15.非モデル化破碎帯

第833回審査会合資料 机上配布資料2に追記(赤太枠)

性状一覧表(17/19)

| 断面図上の番号 | 確認箇所 | 破碎帯範囲 | | 走向 | 傾斜 | 破碎幅 (cm) | 断層カウジ 断層角強の せん断構造 変形構造 (cm) | 最新活動面 | | 条線 方向 | 変位センス | | 写真 | | |
|---------|--------------------|-------------|-------------|------|------|-------------|---|-------|----|----------|-------|---|-----|--|-----|
| | | 上端深度 (m) | 下端深度 (m) | | | | | 平滑さ | 鉛直 | | 水平 | | | | |
| ⑧ | H27-B-1 (傾斜45°) | 49.17 | 49.22 | N47E | 45W | 3.0 | 1.5 | 無 | - | 30L | 正 | 右 | 49 | | 50 |
| ⑨ | H27-B-1 (傾斜45°) | 52.72 | 52.81 | N15E | 82E | 7.2 | - | - | - | 10R | - | 左 | 52 | | 53 |
| ⑩ | H27-B-1 (傾斜45°) | 53.17 | 53.22 | N27E | 64W | 4.8 | 0.2 | 無 | - | 90 | 正 | - | 53 | | 54 |
| ⑪ | H27-B-1 (傾斜45°) | 69.70 | 69.73 | N25E | 82E | 2.4 | 0.1 | 無 | - | 20L | - | 右 | 69 | | 70 |
| ⑫ | H27-B-1 (傾斜45°) | 74.36 | 74.50 | N15E | 85W | 10.7 | 0.7 | 無 | - | 70L | 正 | - | 74 | | 75 |
| ⑬ | H27-B-1 (傾斜45°) | 75.57 | 76.00 | N34E | 87NW | 18.2 | - | - | - | 90 | 逆 | - | 75 | | 76 |
| ⑭ | H27-B-1 (傾斜45°) | 78.72 | 78.87 | N17E | 71E | 13.1 | 0.2 | 無 | - | 30L | 正 | 右 | 78 | | 79 |
| ⑮ | H27-B-1 (傾斜45°) | 113.51 | 113.80 | N21E | 69E | 8.3 | 0.2 | 無 | - | 30L | 正 | 右 | 113 | | 114 |

凡 例
 : 最新活動面 : 破碎幅 : 断層カウジ : 粘土の狭在物が認められる箇所 *1:露頭
 *2:試掘坑

【破碎幅】
 粘土状破碎部、砂状破碎部、角礫状破碎部、
 固結した粘土状破碎部、固結した砂状破碎部、固結した角礫状破碎部
 の合計の幅とし、破碎部の走向傾斜から真の幅に換算した。

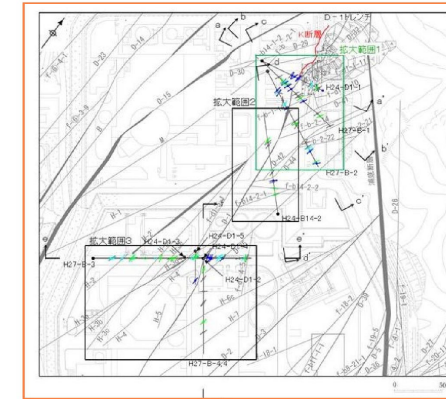
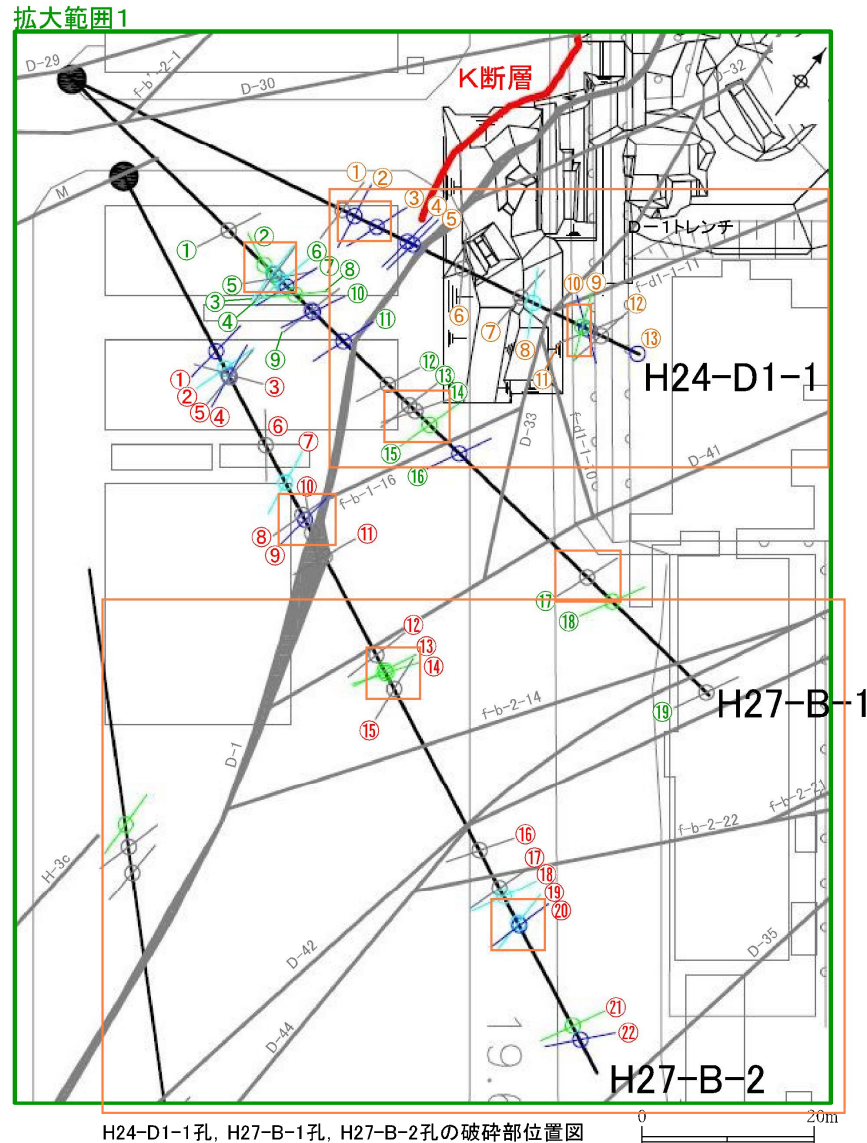
【平滑さ】
 平 滑：最新活動面が直線的なもの
 非平滑：最新活動面が湾曲するもの

参考2-189

K断層の連続性評価について

令和3年7月16日提出資料 本編資料
48~51, 76, 157 (平面図・断面図)
修正箇所：橙色枠

修正前



平面拡大範囲図

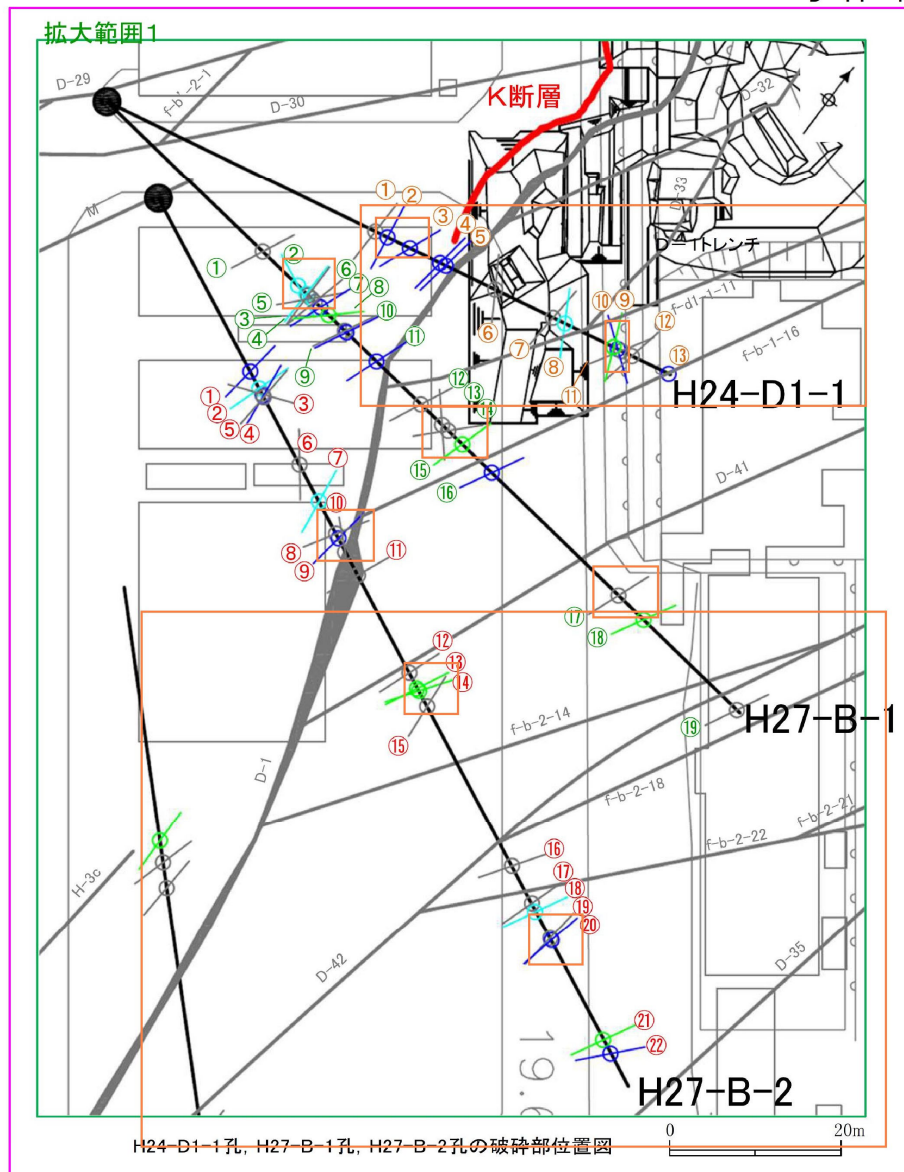
- ①: 破碎部番号 (H24-D1-1孔)
- ①: 破碎部番号 (H27-B-1孔)
- ①: 破碎部番号 (H27-B-2孔)

| 凡例 | |
|----|------------------------------|
| ● | ボーリング孔 |
| — | 破碎帯 (T.P. -15m) |
| — | K断層 (T.P. -15m) |
| ↗ | カタクレーサイトからなる破碎部 |
| ↘ | 断層ガウジを伴う破碎部 (正断層センス卓越) |
| ↖ | 断層ガウジを伴う破碎部 (横ずれ成分を伴う正断層センス) |
| ↙ | 断層ガウジを伴う破碎部 (横ずれセンス卓越) |

48~51, 76, 157 : 走向・傾斜等の修正内容を反映。これに伴い、関連する周辺破碎帯の分布を修正。
 ・ f-d1-1-11, D-33, f-b-1-16, f-d1-1-10
 ・ D-44→f-b-2-18,

修正後

K断層の連続性評価について



- ①: 破碎部番号 (H24-D1-1 孔)
- ②: 破碎部番号 (H27-B-1 孔)
- ③: 破碎部番号 (H27-B-2 孔)

| 凡例 | |
|----|------------------------------|
| ● | ボーリング孔 |
| — | 破碎帯 (T.P. -15m) |
| — | K断層 (T.P. -15m) |
| ↗ | カタクレーサイトからなる破碎部 |
| ↘ | 断層ガウジを伴う破碎部 (正断層センス卓越) |
| ↖ | 断層ガウジを伴う破碎部 (横ずれ成分を伴う正断層センス) |
| ↙ | 断層ガウジを伴う破碎部 (横ずれセンス卓越) |

- 変更したH27-B-1孔(深度75.57~76.00m)の破碎部を起点として、隣接するH24-D1-1孔(北側)とH27-B-2孔(南側)で確認した破碎部との連続性を検討した。
- 連続性評価基準に基づき検討した結果、H24-D1-1孔の深度91.26~91.52mの破碎部のみと連続し、H27-B-2孔の破碎部とは連続しないと評価した。
- よって、破碎帯名は非モデル化破碎部からf-d1-1-11に変更となる(副次的変更)。

| 孔名 | 破碎部番号 | 破碎帯範囲 | | 走向 | 傾斜 | 破碎幅(cm) | 断層カウジ・断層角礫の有無 | | | 断層カウジ・断層角礫の幅(cm) | 最新活動明瞭なせん断構造変形構造 | 条線方向 | 変位センス | | 破碎帯名 |
|----------|-------|---------|---------|------|------|---------|---------------|----|------|------------------|------------------|------|-------|----|-----------|
| | | 上端深度(m) | 下端深度(m) | | | | 肉眼 | 薄片 | 総合評価 | | | | 鉛直 | 水平 | |
| | | | | ※1 | ※1 | | | | | | | ※2 | ※2 | | |
| H27-B-1 | ⑭ | 75.57 | 76.00 | N44E | 72E | 18.2 | 有 | 無 | 無 | - | - | 88R | 正 | - | |
| H24-D1-1 | ① | 45.91 | 48.28 | N1E | 58W | 233.4 | 有 | 無 | 無 | - | - | 30R | 正 | 左 | 非モデル化 |
| H24-D1-1 | ② | 49.20 | 49.91 | N9W | 74E | 51.9 | 有 | 有 | 有 | 1.0 | 無 | 90 | 正 | - | 非モデル化 |
| H24-D1-1 | ③ | 53.77 | 54.54 | N22E | 75E | 32.5 | 有 | 有 | 有 | 1.0 | 無 | 75R | 正 | - | 非モデル化 |
| H24-D1-1 | ④ | 58.96 | 59.30 | N8E | 78W | 28.7 | 有 | 有 | 有 | 1.4 | 有 | - | 正 | - | 非モデル化 |
| H24-D1-1 | ⑤ | 60.12 | 60.15 | N9E | 88W | 2.5 | 有 | 有 | 有 | 0.1 | 有 | 80L | 正 | - | D-1 |
| H24-D1-1 | ⑥ | 68.84 | 69.00 | N31W | 72NE | 6.9 | 無 | 無 | 無 | - | - | 85L | 逆 | - | 非モデル化 |
| H24-D1-1 | ⑦ | 78.77 | 79.19 | N4E | 78E | 19.1 | 有 | 無 | 無 | - | - | 45R | 逆 | 右 | 非モデル化 |
| H24-D1-1 | ⑧ | 81.20 | 81.42 | N29W | 79W | 18.0 | 有 | 有 | 有 | 0.4 | 無 | 0 | - | 左 | 非モデル化 |
| H24-D1-1 | ⑨ | 89.91 | 89.95 | N23W | 86E | 2.0 | 有 | 有 | 有 | 2.0 | 無 | 33L | 正 | 右 | D-33 |
| H24-D1-1 | ⑩ | 90.26 | 90.84 | N53W | 80NE | 15.0 | 有 | 有 | 有 | 0.2 | 有 | 75L | 正 | - | f-d1-1-10 |
| H24-D1-1 | ⑪ | 91.26 | 91.52 | N31E | 83SE | 11.8 | 有 | 無 | 無 | - | - | 75L | 正 | - | f-d1-1-11 |
| H24-D1-1 | ⑫ | 93.12 | 93.24 | N11E | 83E | 9.5 | 有 | 無 | 無 | - | - | 85L | 正 | - | 非モデル化 |
| H24-D1-1 | ⑬ | 99.68 | 99.71 | - | - | 2.0 | 有 | 有 | 有 | 1.2 | 無 | 90 | 正 | - | 非モデル化 |
| H27-B-2 | ① | 31.15 | 31.66 | N7E | 78W | 43.1 | 有 | 有 | 有 | 1.0 | 無 | 80L | 正 | - | 非モデル化 |
| H27-B-2 | ② | 34.37 | 34.48 | N18E | 46W | 10.8 | 有 | 有 | 有 | 0.6 | 無 | 0 | - | 左 | 非モデル化 |
| H27-B-2 | ③ | 35.36 | 35.46 | N69E | 79N | 8.7 | 有 | 無 | 無 | - | - | 10R | - | 右 | 非モデル化 |
| H27-B-2 | ④ | 35.68 | 35.73 | N7W | 52W | 4.1 | 有 | 有 | 有 | 0.2 | 無 | 70R | 正 | - | 非モデル化 |
| H27-B-2 | ⑤ | 35.92 | 35.95 | N4E | 86E | 2.3 | 無 | 無 | 無 | - | - | 50L | 正 | 右 | 非モデル化 |
| H27-B-2 | ⑥ | 48.08 | 48.12 | N38W | 15NE | 3.1 | 有 | 無 | 無 | - | - | 0 | - | 右 | 非モデル化 |
| H27-B-2 | ⑦ | 54.72 | 54.77 | N8W | 79W | 4.2 | 有 | 有 | 有 | 0.3 | 無 | 0 | - | 左 | 非モデル化 |
| H27-B-2 | ⑧ | 60.26 | 60.69 | N31E | 88SE | 36.5 | 無 | 無 | 無 | - | - | 75L | 正 | - | 非モデル化 |
| H27-B-2 | ⑨ | 61.29 | 61.69 | N8E | 89W | 28.8 | 有 | 有 | 有 | 1.5 | 有 | 90 | 正 | - | D-1 |
| H27-B-2 | ⑩ | 63.75 | 63.85 | N47W | 24NE | 8.0 | 無 | - | 無 | - | - | 36L | - | - | 非モデル化 |
| H27-B-2 | ⑪ | 68.02 | 68.06 | N23E | 74W | 3.5 | 有 | 無 | 無 | - | - | 90 | 正 | - | 非モデル化 |
| H27-B-2 | ⑫ | 85.58 | 85.76 | N20E | 89E | 14.4 | 有 | 無 | 無 | - | - | 15L | - | 右 | 非モデル化 |
| H27-B-2 | ⑬ | 88.38 | 88.43 | N26E | 84E | 3.9 | 有 | 有 | 有 | 0.5 | 無 | 30L | 正 | 右 | D-41 |
| H27-B-2 | ⑭ | 88.88 | 88.94 | N35E | 72NW | 5.4 | 有 | 有 | 有 | 2.0 | 有 | 25L | 正 | 右 | f-b-2-14 |
| H27-B-2 | ⑮ | 91.69 | 91.76 | N5W | 82W | 5.7 | 有 | 無 | 無 | - | - | 30R | 逆 | 右 | 非モデル化 |
| H27-B-2 | ⑯ | 120.63 | 120.65 | N34E | 77NW | 1.7 | 有 | 無 | 無 | - | - | 30L | 逆 | 左 | 非モデル化 |
| H27-B-2 | ⑰ | 127.41 | 127.48 | N18E | 82E | 5.6 | 無 | 無 | 無 | - | - | 20L | - | 右 | D-42 |
| H27-B-2 | ⑱ | 128.82 | 128.97 | N28E | 81E | 12.1 | 有 | 有 | 有 | 0.5 | 無 | 20R | - | 右 | f-b-2-18 |
| H27-B-2 | ⑲ | 133.75 | 133.92 | N6E | 84E | 15.4 | 有 | 無 | 無 | - | - | 22L | - | 右 | 非モデル化 |
| H27-B-2 | ⑳ | 134.15 | 134.23 | N12E | 66E | 7.4 | 有 | 有 | 有 | 2.0 | 有 | 82L | 正 | - | f-b-2-20 |
| H27-B-2 | ㉑ | 152.10 | 152.15 | N28E | 84E | 4.0 | 有 | 有 | 有 | 0.1 | 無 | 30L | 正 | 右 | f-b-2-21 |
| H27-B-2 | ㉒ | 154.53 | 154.71 | N42E | 75SE | 15.7 | 有 | 有 | 有 | 0.5 | 有 | 75R | 正 | - | f-b-2-22 |

← 起点の破碎部

← 連続させることができる破碎部

■ 検討範囲内の破碎部
(起点の破碎部の走向・傾斜から±20°の範囲内のもの)

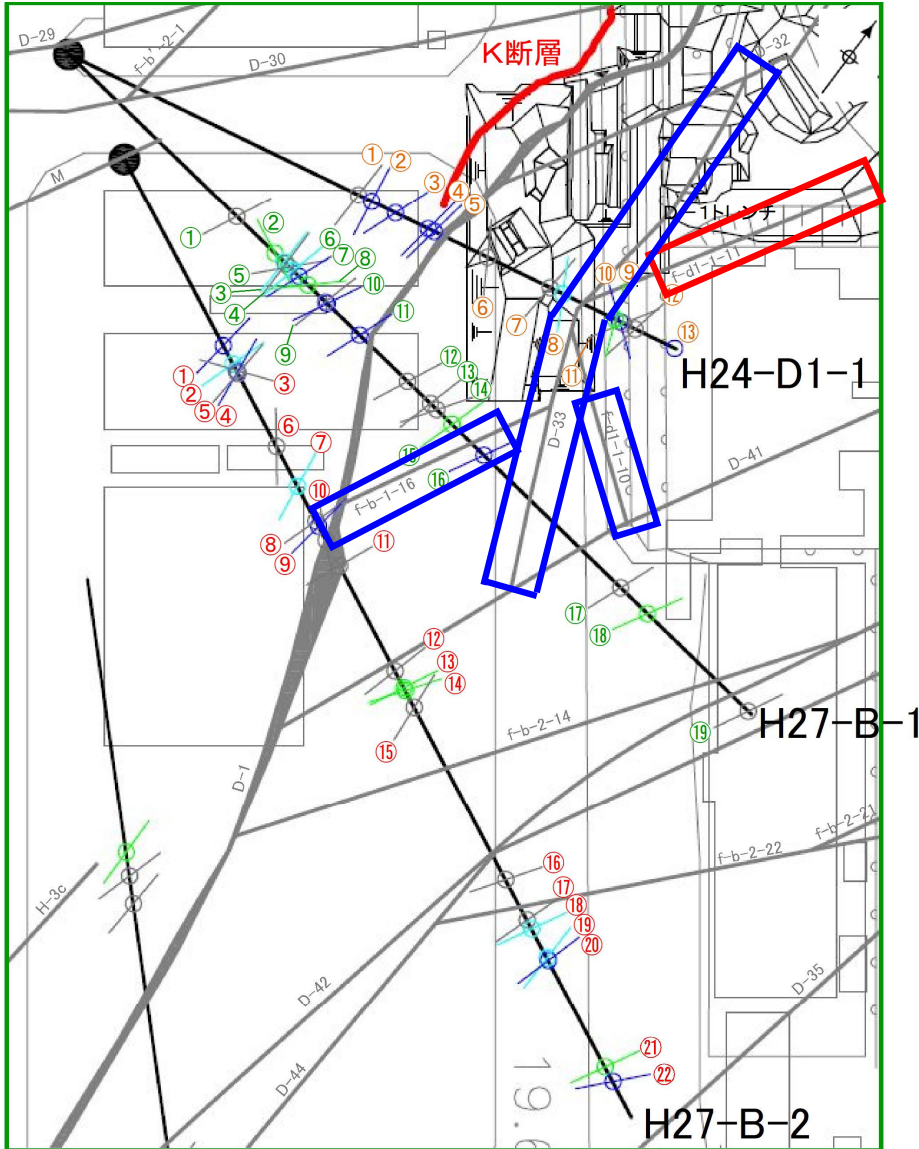
□ 先に連続性検討を行った破碎部(既往の破碎帯と連続することが決まった破碎部とは繋げない)

□ 検討範囲内の破碎部のうち起点の破碎部との走向傾斜の差が±20°以内

※1 N34° E 87° NWから変更した。 ※2 走向・傾斜の変更で条線90° → 88° R, 変位センス逆 → 正に変わった。

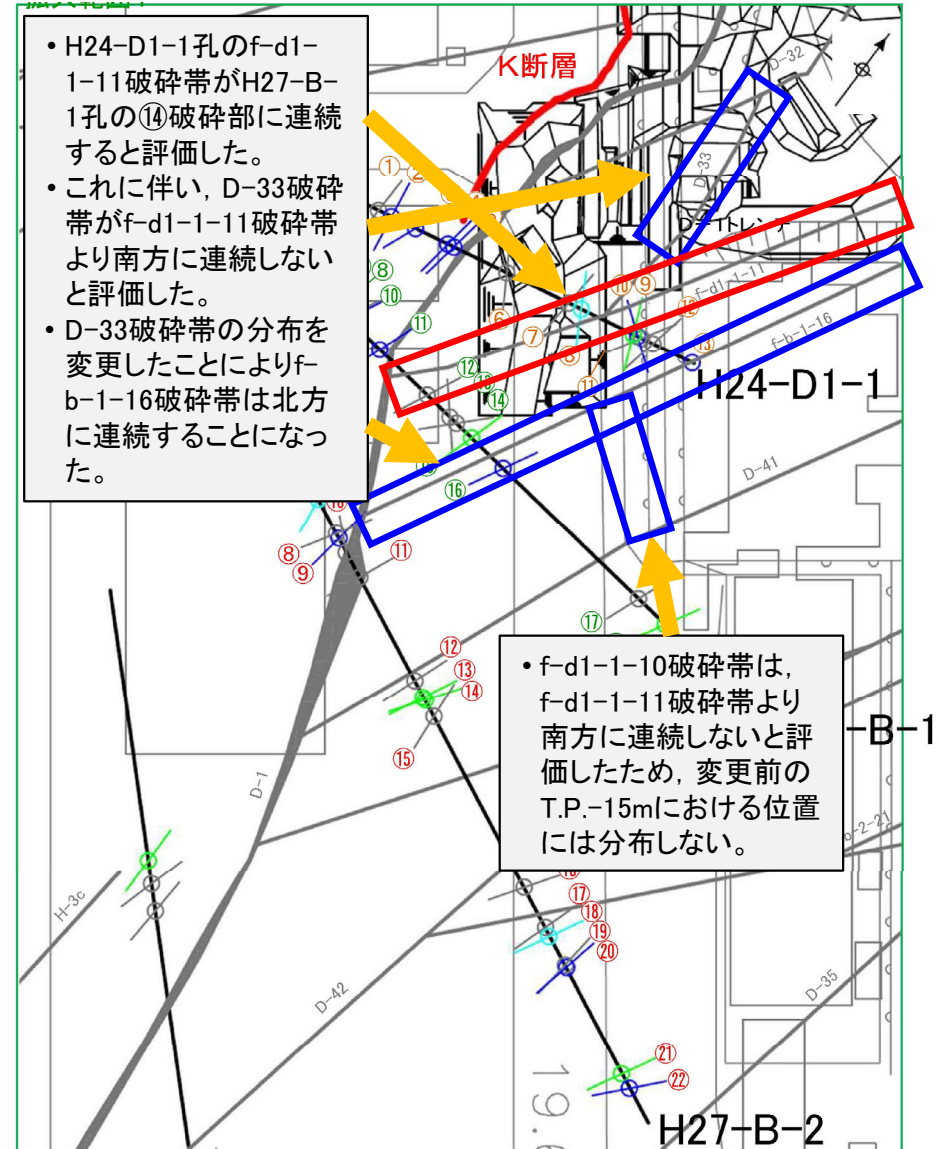
- H27-B-1孔(深度75.57~76.00m)の破碎部(⑭破碎部)の連続性評価が変更になったことに伴い、破碎帯分布図は変更となる(副次的変更)。
- 本破碎部の走向・傾斜の再評価により変更となった破碎帯(f-d1-1-11)を赤枠、f-d1-1-11破碎帯の分布が変更になったことに伴い、分布が変更となった破碎帯(D-33破碎帯、f-b-1-16破碎帯、f-d1-1-10破碎帯)を青枠で示す。

変更前



H24-D1-1孔, H27-B-1孔, H27-B-2孔の破碎部位置図
(破碎帯分部図の凡例は67, 68頁と同様)

変更後



- H24-D1-1孔のf-d1-1-11破碎帯がH27-B-1孔の⑭破碎部に連続すると評価した。
- これに伴い、D-33破碎帯がf-d1-1-11破碎帯より南方に連続しないと評価した。
- D-33破碎帯の分布を変更したことによりf-b-1-16破碎帯は北方に連続することになった。

• f-d1-1-10破碎帯は、f-d1-1-11破碎帯より南方に連続しないと評価したため、変更前のT.P.-15mにおける位置には分布しない。

H24-D1-1孔, H27-B-1孔, H27-B-2孔の破碎部位置図
(破碎帯分部図の凡例は67, 68頁と同様)

余白